

**РАСЧЕТ АМПЛИТУДЫ АВТОКОЛЕБАНИЙ  
ПРИ РЕЗАНИИ МЕТАЛЛОВ**

Новиков Ф.В., докт. техн. наук  
(г. Харьков, Украина)

*The mathematical model of self-oscillations is adduced at cutting of metals*

Проблеме автоколебаний при резании металлов в научно-технической литературе удалено большое внимание, однако единой точки зрения относительно причин возникновения и условий устранения автоколебаний до настоящего времени нет. В данной работе предложен подход к расчету амплитуды автоколебаний.

Рассмотрим инструмент в виде одномассовой системы (рис.1), на которую действуют упруго-восстанавливающая сила  $C \cdot y$ , сила инерции  $m \cdot \ddot{y}$ , сила сопротивления  $k_I \cdot \dot{y}$  и составляющая силы резания  $P_y$ , равная [1]:

$$P_y = 2 \cdot \tau_{cd\theta} \cdot S \cdot \frac{\sin(\varphi - \gamma)}{1 - \sin(\varphi - \gamma)}$$

где  $\tau_{cd\theta}$  - предел прочности материала на сдвиг, Па;  $S$  - площадь поперечного сечения среза,  $\text{м}^2$ ;  $\gamma$  - передний угол инструмента, град.;  $\varphi$  - угол трения ( $\operatorname{tg}\varphi = f$ );  $f$  - коэффициент трения стружки с передней поверхностью инструмента.

Уравнение равновесия сил имеет вид

$$m \cdot \ddot{y} = P_y - k_I \cdot \dot{y} - C \cdot y, \quad (2)$$

где  $m$ ,  $C$  - соответственно приведенные масса и жесткость системы;  $k_I$  - коэффициент пропорциональности;  $y, \dot{y}, \ddot{y}$  - соответственно перемещение, скорость и ускорение движения системы.

Коэффициент трения  $f = \operatorname{tg}\varphi$  зависит от скорости скольжения стружки по передней поверхности инструмента  $V = V_{cpr} - \dot{y}$ , рис.2 [2].

При движении массы  $m$  в положительном направлении скорость  $V$  меньше скорости  $V_{cpr} = \frac{V_o}{\xi}$  (где  $V_o$  - скорость резания,  $\xi$  - коэффициент усадки стружки), а при движении в отрицательном

направлении, наоборот, больше  $V_{cmp}$ . Зависимость  $\varphi - V$  (которая соответствует зависимости  $f - V$ , рис.2) на падающем участке можно аппроксимировать

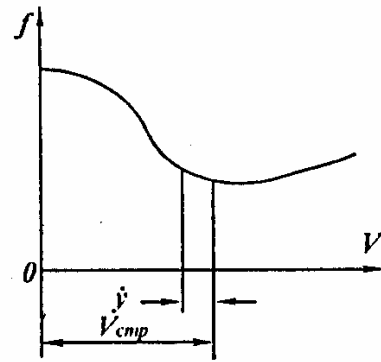
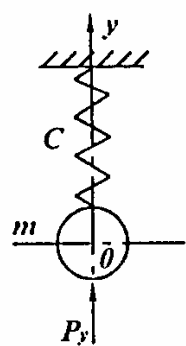


Рис. 1. Расчетная схема колебаний инструмента

Рис. 2. Зависимость  $f$  от  $V$

$$\varphi = \varphi_o - \alpha \cdot V = \varphi_o - \alpha \cdot (V_{cmp} - \dot{y}) = (\varphi_o - \alpha \cdot V_{cmp}) + \alpha \cdot \dot{y}, \quad (3)$$

где  $\varphi_o, \alpha$  - некоторые постоянные.

Исключим из (2) слагаемые, определяющие статическое равновесие системы:  $c \cdot (y - y_I) = 2 \cdot \tau_{cde} \cdot W \cdot \sin(\varphi_o - \alpha \cdot V_{cmp} - \gamma)$ , тогда

$$\ddot{y}_I + 2 \cdot n \cdot \dot{y}_I + k^2 \cdot y_I = \frac{2 \cdot \tau_{cde} \cdot W}{m} \cdot \left\{ \sin[(\varphi_o - \alpha \cdot V_{cmp} - \gamma) + \alpha \cdot \dot{y}_I] - \sin(\varphi_o - \alpha \cdot V_{cmp} - \gamma) \right\}, \quad (4)$$

где  $y_I, \dot{y}_I, \ddot{y}_I$  - новые переменные,

$$W = \frac{1}{1 - \sin(\varphi_o - \alpha \cdot V_{cmp} - \gamma)}$$

С учетом тригонометрических преобразований, обозначая  $u = \varphi_o - \alpha \cdot V_{cmp} - \gamma$ , уравнение (4) запишется

$$\ddot{y}_I + \dot{y}_I \cdot \left( 2 \cdot n - \frac{2 \cdot \alpha \cdot \tau_{cde} \cdot S \cdot \cos u \cdot W}{m} \right) -$$

$$-\frac{2 \cdot \tau_{cd\theta} \cdot S \cdot W}{m} \cdot \left[ \sin u \cdot \left( -\frac{\alpha^2 \cdot \dot{y}_I^2}{2!} + \frac{\alpha^4 \cdot \dot{y}_I^4}{4!} - \dots \right) + \cos u \cdot \left( -\frac{\alpha^3 \cdot \dot{y}_I^3}{3!} + \dots \right) \right] + k^2 \cdot y_I = 0. \quad (5)$$

Получено нелинейное дифференциальное уравнение второго порядка. При отрицательном значении коэффициента, стоящего при  $\dot{y}_I$ , имеет место неустойчивое состояние системы, т.е. возникают автоколебания [1].

Система будет совершать свободные колебания с собственной частотой  $k$ , если выполняется условие  $\ddot{y}_I + k^2 \cdot y_I = 0$  или, исходя из (5),

$$\begin{aligned} R = & -\dot{y}_I \cdot \left( 2 \cdot n - \frac{2 \cdot \alpha \cdot \tau_{cd\theta} \cdot S \cdot \cos u \cdot W}{m} \right) + \\ & + \frac{2 \cdot \tau_{cd\theta} \cdot S \cdot W}{m} \cdot \left[ \sin u \cdot \left( -\frac{\alpha^2 \cdot \dot{y}_I^2}{2!} + \frac{\alpha^4 \cdot \dot{y}_I^4}{4!} - \dots \right) - \right. \\ & \left. - \cos u \cdot \left( -\frac{\alpha^3 \cdot \dot{y}_I^3}{3!} + \dots \right) \right] = 0. \end{aligned}$$

Амплитуду колебаний  $A$  определим методом энергетического баланса, согласно которому стационарные автоколебания описываются (приближенно) гармоническим законом

$$y_I = A \cdot \sin kt \quad (6)$$

с частотой свободных колебаний системы  $k$ . Работа силы  $R$  за период

автоколебаний  $T = \frac{2 \cdot \pi}{k}$  равна нулю:  $\int_0^T R \cdot y \cdot d\tau = 0$

Откуда

$$A = \frac{1}{k} \cdot \sqrt{\frac{\int_0^T \frac{6}{\alpha^2} \cdot \left( I - \frac{n \cdot m}{\tau_{cd\theta} \cdot S \cdot W \cdot \cos u \cdot \alpha} \right) \cdot \cos^2 kt \cdot d\tau}{\int_0^T \cos^4 kt \cdot d\tau}}.$$

Коэффициент  $\alpha$  определяет тангенс угла наклона функции  $u$  в точке статического равновесия системы, рис.2.

С учетом  $\alpha = \operatorname{tgu}$  амплитуда колебаний  $A$  выразится

$$A = \frac{\sqrt{8}}{k \cdot \operatorname{tgu}} \cdot \sqrt{1 - \frac{n \cdot m}{\tau_{cde} \cdot S \cdot \sin u \cdot W}}. \quad (7)$$

Второе слагаемое подкоренного выражения (7) определяет отношение силы сопротивления к силе резания  $P_y$ . Это отношение должно быть меньше единицы, в противном случае (при отрицательном подкоренном выражении) возбуждения автоколебаний не будет. С увеличением  $u$  и уменьшением знаменателя (т. е. силы резания  $P_y$ ) амплитуда колебаний  $A$  уменьшится.

С учетом зависимостей, приведенных в работе [2], амплитуда колебаний описывается

$$A = \frac{\sqrt{8} \cdot \operatorname{tg} 2\beta}{k} \cdot \sqrt{1 - \frac{n \cdot \operatorname{tg} \beta \cdot \operatorname{tg} 2\beta \cdot m}{\tau_{cde} \cdot S}}. \quad (8)$$

Угол сдвига материала  $\beta$  неоднозначно влияет на  $A$ . С увеличением  $\beta$  подкоренное выражение уменьшается, а множитель  $\operatorname{tg} 2\beta$ , стоящий перед корнем, возрастает. Следовательно, возможна экстремальная зависимость  $A - \beta$  и амплитуда колебаний  $A$  будет принимать максимальное значение.

Экспериментально установлено, что угол  $\beta$  с увеличением скорости резания  $V$  при точении возрастает. Исходя из (8), это может привести к экстремальной зависимости  $A - V$ , что соответствует экспериментальным данным, согласно которым амплитуда  $A$  проходит точку максимума.

По мере затупления инструмента угол  $\beta$  уменьшается. Следовательно, уменьшится множитель  $\operatorname{tg} 2\beta$  и возрастет подкоренное выражение в (8). Учитывая преобладающую роль подкоренного выражения, это приведет к увеличению амплитуды колебаний  $A$ , что соответствует экспериментальным данным.

Аналогичное влияние на  $\beta$  и  $A$  оказывает коэффициент трения  $f$  (угол трения  $\varphi$ ) и противоположное влияние – передний угол инструмента  $\gamma$ .

С увеличением площади поперечного сечения среза  $S$  амплитуда колебаний  $A$  возрастает.

При шлифовании

$$S = \frac{Q}{V_{kp}} = \frac{B \cdot V_{det} \cdot t}{V_{kp}}, \quad (9)$$

где  $Q$  - производительность обработки;  $B$  - ширина шлифования;  $V_{det}$ ,  $V_{kp}$  - соответственно скорости детали и круга;  $t$  - глубина шлифования.

Амплитуда колебаний  $A$  тем больше, чем больше  $B$ ,  $V_{det}$ ,  $t$  и меньше  $V_{kp}$ . Теоретические результаты согласуются с экспериментальными, рис.3 [3].

Увеличение  $A$  с течением времени  $\tau$  связано с затуплением зерен круга, уменьшением угла сдвига  $\beta$  и увеличением подкоренного выражения в (8).

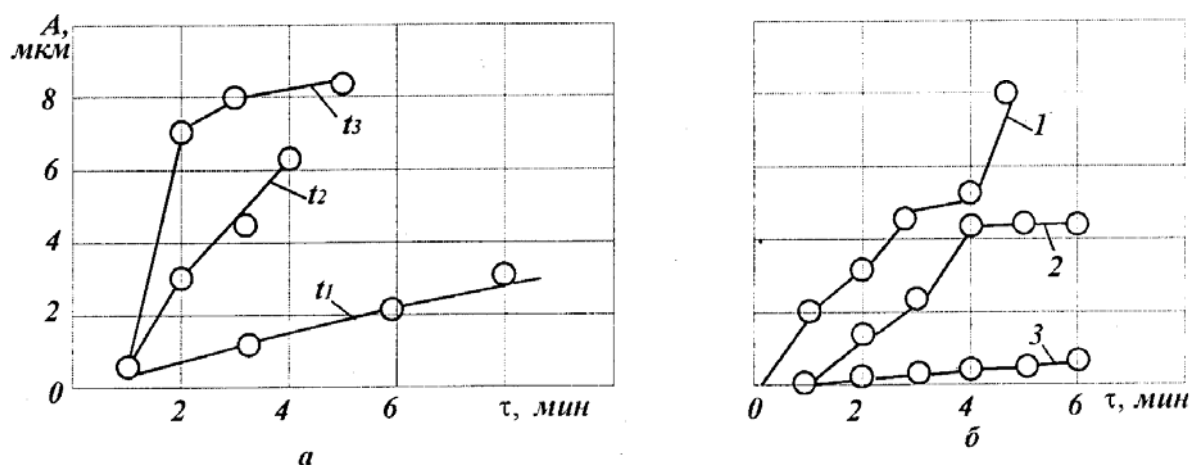


Рис. 3. Зависимость  $A$  от  $\tau$ :  
а) –  $t_3 > t_2 > t_1$ ; б) – (1-  $V_{kp} = 25$  м/с; 2-  $V_{kp} = 35$  м/с; 3-  $V_{kp} = 48$  м/с)

Приблизительно к таким результатам можно прийти, если в преобразованном уравнении (2) положить

$$R = \frac{2 \cdot \tau_{cd\theta} \cdot S}{m} \cdot \frac{\sin(\varphi - \gamma)}{1 - \sin(\varphi - \gamma)} - 2 \cdot n \cdot \dot{y}_I = 0. \quad (10)$$

Из (2.62) вытекает:  $\dot{y}_I = A \cdot k \cdot \cos k\tau$ .

Максимальное значение  $\dot{y}_I$  достигается при  $\sin k\tau = 0$ . Это соответствует наибольшему значению  $\varphi$ . Тогда

$$A = \frac{\tau_{cd\theta} \cdot S}{k \cdot u \cdot m} \cdot \frac{\sin(\varphi - \gamma)}{1 - \sin(\varphi - \gamma)}. \quad (11)$$

Амплитуда колебаний  $A$  тем больше, чем больше  $\tau_{cd\theta}$ ,  $S$ ,  $\varphi$  и меньше  $u$ ,  $\gamma$ . Для отрицательного переднего угла инструмента (или режущего зерна круга)

$$A = \frac{\tau_{cd\theta} \cdot S}{k \cdot u \cdot m} \cdot \frac{\sin(\varphi + \gamma)}{1 - \sin(\varphi + \gamma)}. \quad (12)$$

С увеличением  $\gamma$  амплитуда колебаний  $A$  неограниченно возрастает. Следовательно по мере затупления инструмента происходит увеличение  $A \rightarrow \infty$  и процесс резания прекратится.

С увеличением скорости резания  $V$  при лезвийной обработке угол трения  $\varphi$  (коэффициент трения на передней поверхности инструмента  $f$ ) уменьшается. Это ведет к снижению  $A$ . В случае образования нароста на передней поверхности инструмента, передний угол  $\gamma$  возрастает с увеличением  $V$ , амплитуда колебаний уменьшается. По мере вырождения нароста передний угол уменьшится, а амплитуда колебаний возрастет. При дальнейшем увеличении  $V$  происходит уменьшение  $A$  за счет уменьшения угла трения  $\varphi$ , т.е. характер изменения  $A$  аналогичен изменению составляющей силы резания  $P_y$ .

С увеличением собственной частоты системы  $k$  амплитуда колебаний пропорционально уменьшается.

### Список литературы:

1. Основы прикладной теории колебаний и удара/Я.Г. Пановко. – 4-е изд. – Л.: Политехника, 1990. - 272с.
2. Теоретические основы резания и шлифования материалов: Учебн. пособие / А.В. Якимов, Ф.В. Новиков, Г.В. Новиков, Б.С. Серов, А.А. Якимов. – Одесса: ОГПУ, 1999. – 450с.
3. Лурье Г.Б. Шлифование металлов – М.: Машиностроение, 1969-172с.